

Б-817

ОБЪЕДИНЕННЫЙ  
ИНСТИТУТ  
ЯДЕРНЫХ  
ИССЛЕДОВАНИЙ

Дубна

P-2817



Лаборатории ядерных процессов

Н.А. Бонч-Осмоловская, Я. Врзал, Е.П. Григорьев,  
Я. Липтак, Я. Урбанец

СХЕМА РАСПАДА  $^{160}\text{Ho}$

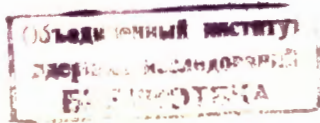
1966

P-2817

4403/2 49

Н.А. Бонч-Осмоловская, Я. Врзал, Е.П. Григорьев,  
Я. Липтак, Я. Урбанец

СХЕМА РАСПАДА  $^{160}\text{Ho}$



$^{160}\text{Dy}$  является сильнодеформированным ядром, многие из свойств которого объясняются обобщенной моделью. Уточнение схемы уровней, их квантовых характеристик, вероятностей переходов необходимо для определения параметров модели и установления области ее применимости. Одним из методов изучения  $^{160}\text{Dy}$  является исследование распада  $^{160}\text{Ho}$ .

Как показали исследования спектра электронов внутренней конверсии, при распаде  $^{160}\text{Ho}$  возникает около 130  $\gamma$ -переходов <sup>1/1</sup>. Гамма-лучи наблюдались ранее по фотоэлектронам лишь для самых интенсивных переходов, люминесцентные же спектры имели недостаточную разрешающую способность, чтобы разделять отдельные линии. Информация о  $\gamma$ -лучах имеет большое значение для установления очень сложной схемы распада  $^{160}\text{Ho}$ .

В настоящей работе измерялся  $\gamma$ -спектр  $^{160}\text{Ho}$  на полупроводниковом  $\gamma$ -спектрометре с германиевым детектором. Рабочий объем детектора коаксиального типа составлял 5 см<sup>3</sup>, ширина линий на половине высоте в данных измерениях равнялась 5,5 кэв в области 1 Мэв. Регистрация проводилась 2048-канальным анализатором. Источником служил  $^{160}\text{Eu}$ , который находился в равновесии с дочерним  $^{160}\text{Ho}$ . Препарат был получен в реакции взаимодействия протонов  $E_p = 660$  Мэв с tantalовой мишенью на синхроциклоитроне ОИЯИ.

Результаты измерения  $\gamma$ -спектра  $^{160}\text{Ho}$  приведены в таблице 1. Энергии большинства переходов были измерены в <sup>1/1</sup> с точностью 0,05%, поэтому они были приняты по этой работе. В области энергий 2500–2800 кэв градуировочная кривая для  $\gamma$ -спектра была получена по энергиям наиболее интенсивных линий внутренней конверсии <sup>1/1</sup>, энергии более слабых  $\gamma$ -переходов определялись по положению линий в  $\gamma$ -спектре. Относительная точность измерения интенсивностей  $\gamma$ -линий составляла 10% для сильных  $\gamma$ -лучей. Кроме пиков полного поглощения, в спектре наблюдались пики, соответствующие вылету одного и двух аннигиляционных квантов. Последние сильно затруднили анализ спектра в области 1500–1700 кэв, так как здесь расположены пики

от довольно сильных  $\gamma$ -переходов 2500-2700 кэв. Для примера на рис. I приведены два участка  $\gamma$ -спектра  $^{160}\text{Ho}$ .

Интенсивности конверсионных электронов в таблице I приведены в единицах, где 1 (К 187) составляет 1000 единиц. Шкала интенсивностей  $\gamma$ -лучей выбрана таким образом, чтобы для известных чистых E2-переходов 187, 728, 880 и 966 кэв отношения  $I_k/I_\gamma$  были бы как можно ближе к величине  $a_k^{\text{теор}}(E2)$ . Величина  $(I_k/I_\gamma)/a_k$  (E2) была получена путем усреднения этих отношений для четырех указанных переходов. В этом случае величины  $I_k/I_\gamma$  будут равны экспериментальным коэффициентам конверсии. Разброс значений  $a_k^{\text{эксп}}$  по отношению к  $a_k^{\text{теор}}$  (E2) невелик для реперных переходов, и не замечено регулярного отклонения в зависимости от энергии. Это обстоятельство является свидетельством правильности определения интенсивности как конверсионных линий, так и  $\gamma$ -лучей.

В таблице I приведены некоторые новые данные о спектре конверсионных электронов, полученные в результате совместного анализа со спектром  $\gamma$ -лучей. Уточнены интенсивности ряда линий, даны оценки интенсивностей линий тех переходов, которые впервые обнаружены в спектре  $\gamma$ -лучей.

Полученная информация позволяет сделать новые заключения и служит проверкой сделанных в /1/ предположений и выводов о схеме уровней  $^{160}\text{Dy}$ .

#### Уровни второй ротационной полосы с $K'' = 2^+$

В работе /1/ установлены уровни со спинами до 6 ротационной полосы, основанной на состоянии 965,6 кэв  $2^+$  ( $\gamma$ -вибрационная полоса, рис. 2).

Прямые измерения интенсивностей  $\gamma$ -лучей позволяют определить отношение приведенных вероятностей  $\gamma$ -переходов, идущих на основную полосу. В таблице 2 приведены полученные результаты. Следует заметить, что мультипольность перехода с энергией 857 кэв оказалась E1, это, по-видимому, два близких по энергии перехода, и между уровнями  $6_2^+$  и  $6_0^+$  идет E2-компонент этого дублета. Ее долю определить трудно ввиду того, что велика погрешность из-за малой интенсивности перехода.

Коэффициенты конверсии остальных переходов, идущих с этой полосы, соответствуют значениям  $a_k$  электрических квадрупольных переходов.

В работе Иошизава и др. определена приведенная вероятность возбуждения уровня 966 кэв B (E2;  $0 \rightarrow 2$ ) =  $0,069 \pm 0,020$   $e^{-2} \cdot 10^{-48} \text{ см}^4$ , что соответствует его периоду полураспада по отношению к переходу 966 кэв  $2^+ \rightarrow 0^+$ ,  $T = 4,8 \cdot 10^{-12}$  сек и фактору ускорения  $F = 2,7$ . Период полураспада уровня 966 кэв равен  $1 \cdot 10^{-11}$  сек. Ускорение в несколько раз обычно для E2 — переходов, идущих в деформированных четно-четных ядрах с  $\gamma$ -вибрационных уровней.

### Уровни третьей ротационной полосы с $K = 4^+$

Для уровней ротационной полосы, основанной на состоянии 1694 кэв  $4^+$  (рис. 2), проведен такой же анализ, как и для уровней второй полосы. Мультипольности переходов, идущих с уровнем  $4^+$  и  $5^+$ , которые проявились в  $\gamma$ -спектре, оказались E2. В таблице 3 даны отношения их приведенных вероятностей. Результаты, полученные по интенсивностям  $\gamma$ -лучей, близки к выводам <sup>1/1</sup>, но их надежность выше, так как предположение о мультипольности E2 стало экспериментальным фактом.

Следуя анализу вероятностей  $\gamma$ -переходов на полосу с  $K'' = 2^+$  и переходов внутри полосы с  $K'' = 4^+$ , проведенному в <sup>1/1</sup>, можно определить период полураспада уровня 1694 кэв  $T_{1/2}(1694 \text{ кэв}) = 1,6 \cdot 10^{-11}$  сек, и парциальный период полураспада относительно перехода 728 кэв  $T_{1/2}(728 \text{ кэв}) = 2,7 \cdot 10^{-10}$  сек. E2-переход 728 кэв оказался заторможенным в 5,1 раза по сравнению с предсказаниями одночастичной модели. Это позволяет с определенной вероятностью исключить интерпретацию уровня 1694 кэв как двухфононного вибрационного состояния. В последнем случае следовало бы ожидать ускорения переходов на однофононные состояния. По-видимому правильна интерпретация его как двухквазичастичного состояния  $\pi 3/2^- [521] \pi 5/2^- [523]$ .

### Уровни $0^+$ и $2^+$ $\beta$ -вибрационной полосы

Из таблицы 1 следует, что мультипольность перехода 1263 кэв должна быть выше, чем M2. Маловероятно найти изомерный переход с такой большой энергией в схеме уровней  $^{160}\text{Dy}$ , поэтому можно предположить, что переход 1263 кэв сложный и одна его компонента относится к E0-переходу, идущему между состояниями  $0^+ \rightarrow 0^+$ . В  $\gamma$ -спектре обнаружен переход 1176 кэв, который может быть размещен между уровнями 1263 кэв  $0^+$  и 86,8 кэв  $2^+$ . Ввиду малой интенсивности и близости других переходов установить его мультипольность не удалось. Можно оценить ядерный параметр  $\rho^2$  для  $0^+ \rightarrow 0^+$ -перехода, зная, что интенсивность конверсионной линии K 1263 примерно в 100 раз меньше, чем у 1176, и принимая одночастичную величину вероятности для E2-перехода 1176 кэв ( $T_{1/2} = 4,8 \cdot 10^{-12}$  сек).

В этих предположениях значение  $\rho^2$  получается равным 0,024, что не выходит за пределы обычно встречающихся значений.

Если состояние 1263 кэв является  $\beta$ -вибрационным, то на нем должна быть ротационная полоса. Моменты инерции ядра в  $\beta$ -вибрационных и основных состояниях обычно близки, и первый ротационный уровень следует искать около 1350 кэв. В спектре есть переход с энергией 1349 кэв и с мультипольностью E2; он может идти в основное состояние. Тогда на первый возбужденный уровень пойдет переход 1263 кэв, кото-

рый проявился в  $\gamma$ -спектре. С заметной интенсивностью должен идти переход на уровень 283,8 кэв  $4^+$ . В спектре конверсионных электронов на подъеме линий 1089 кэв наблюдалось превышение числа импульсов над контуром линии, которое может быть вызвано переходом 1067 кэв.

Сложность спектра не позволяет точно установить интенсивности переходов и сопоставить их с теоретическими предсказаниями.

Уровни  $^{160}$ Dy с отрицательной четностью

Подтвердился вывод работы <sup>1/1</sup>, что при распаде  $^{160}$ No заселяются те же четыре уровня с отрицательной четностью, что и при распаде  $^{160}$ Tb.

а) Уровень 1284,4 кэв. Отношение интенсивностей  $\gamma$  215 :  $\gamma$  1178 = 0,2 близко к полученному в ряде работ по изучению  $^{160}$ Tb (см. <sup>1/3</sup>) значению 0,21 - 0,22. Линия K 1178 в спектре конверсионных электронов не наблюдалась ввиду ее малой интенсивности.

б) Уровень 1288,8 кэв. Подтверждилось, что мультипольность идущего с него перехода 1200 кэв - E1.

в) Уровень 1358,4 кэв. Подтверждено, что мультипольности переходов 310, 382 и 1272 - E1 и отношение  $\gamma$  392 :  $\gamma$  1272 = 0,2 такое же, как и полученное при изучении распада  $^{160}$ Tb (см. <sup>1/3</sup>).

г) Уровень 1398,8 кэв. Подтверждено, что мультипольности переходов 1115 кэв и 1312 кэв - E1 и отношение  $\gamma$  1115 :  $\gamma$  1312 = 0,8 близко к значениям 0,7 - 0,8 в  $^{160}$ Tb.

Другие уровни, возникающие при распаде  $^{160}$ No

В правой части схемы распада показано большое количество новых уровней  $^{160}$ Dy. Критериями для введения этих уровней были: 1) известная энергия распада  $^{160}$ No  $3386 \pm 15$  кэв; 2) совпадения энергий прямых и каскадных переходов; 3) мультипольности переходов (оны показаны на рис. 2); 4) данные о  $e-\gamma$  и  $\gamma - \gamma$  - совпадениях <sup>1/4,5/</sup>. Отношения интенсивностей переходов, особенно E1, не могут быть хорошим критерием для определения характеристики высоких уровней, так как смешивание состояний может значительно нарушить правила интенсивностей. Некоторые из состояний предлагались в более ранних работах (см. <sup>1/1</sup>).

Следует отметить тот факт, что мультипольность большей части переходов из группы 1200–1500 кэв оказалась E2 или M1, а не E1, как предполагалось в более ранних работах. Как следствие, ряду уровней в области 1400–2300 кэв приписана положительная четность.

Нужно сделать замечания об уровнях, изображенных на рис. 2. Уровни 1431, 1436, 1809, 1757 и 2086 кэв введены по энергиям и мультипольностям переходов. Все они имеют положительную четность, а предполагаемые спины указаны на рис. 2.

Уровень 1809 кэв подтверждается совпадениями ( $L$  86,8) ( $\gamma$  1810)<sup>/4/</sup> и ( $\gamma$  187) ( $\gamma$  1300–1450)<sup>/5/</sup>.

Несколько ниже 1700 кэв должно быть состояние  $1^+$ , образованное теми же нейтронами  $3/2^-$  [521] и  $5/2^-$  [523], что и состояние 1804 кэв  $4^+$ , а также соответствующие ротационные уровни. Идентифицировать их довольно сложно ввиду возможного сильного смешивания состояний. Не исключено, что какие-либо из указанных уровней относятся к этой ротационной полосе.

Уровень 1805 кэв подтверждают ( $L$  86,8) ( $\gamma$  1710) –совпадения<sup>/4/</sup>. Переход 1806 кэв также может быть расположен в другом месте схемы, между уровнями 1803 кэв и 86,8 кэв. В пользу этого варианта говорит наличие совпадений ( $K$  187) ( $\gamma$  1810)<sup>/4/</sup>.

Уровень 2006 кэв характерен тем, что все три перехода с него идут на уровни  $\gamma$ -вибрационной полосы. Совпадения ( $\gamma$  963 + 966) ( $\gamma$  1050–1200) можно интерпретировать, следя работе<sup>/5/</sup>, как ( $\gamma$  962) ( $\gamma$  1049) и ( $\gamma$  966) ( $\gamma$  1131). Отсутствие переходов на основную полосу можно объяснить К-запретом, и значение спина 4 кажется по этой причине предпочтительнее, чем 3.

Некоторым подтверждением уровня 2209 кэв служат совпадения ( $\gamma$  197) ( $\gamma$  1900–2500) = ( $\gamma$  197) ( $\gamma$  1925)<sup>/5/</sup>. Эти же совпадения относятся к уровню 2270 кэв ( $\gamma$  187) ( $\gamma$  1986), а также возможные совпадения ( $\gamma$  966) ( $\gamma$  1304)<sup>/5/</sup>.

Совпадения, наблюдавшиеся в<sup>/5/</sup> и интерпретированные как ( $\gamma$  187) ( $\gamma$  2002); ( $\gamma$  962) ( $\gamma$  1238) и ( $\gamma$  966) ( $\gamma$  1321), служат подтверждением уровня 2286 кэв.

С уровня 2469 кэв могут идти пять переходов, но два из них также размещены в другом месте схемы.

Группа уровней выше 2600 кэв вводилась уже в ряде работ (см.<sup>/1/</sup>).

Установление мультипольностей переходов позволяет судить о квантовых характеристиках каждого из уровней. По-видимому, они заселяются путем разрешенных  $\beta$ -переходов при распаде изомерного состояния  $^{160}\text{No}$   $2^+$ .

С уровня 2630 кэв, кроме двух сильных переходов на основную полосу, идет переход 1665 кэв на  $\gamma$ -вибрационное состояние. Это подтверждено ( $\gamma$  986) ( $\gamma$  1665) совпадениями<sup>/5/</sup>. Переход 1280 кэв хорошо укладывается между этим уровнем и состоянием 1350 кэв. Но его мультипольность - M2, и было бы крайне интересно установить, действительно ли он идет в конкуренции с тремя E1  $\gamma$ -переходами.

Возможно, что с уровняй 2680, 2673, 2699 и 2733 кэв идут конкурирующие E1 и M1-или E2-переходы. В этом случае E1 переходы значительно заторможены по отношению к одиночастичным значениям.

По интенсивностям  $\gamma$ -переходов была определена вероятность заселения каждого из уровней путем электронного захвата. За 100% была принята интенсивность всех переходов, идущих в основное состояние  $^{160}\text{Dy}$  (рис. 2). В единицах таблицы 1 это составляет 4700. Величины  $lgft$  вычислялись в предположении, что они заселяются при  $\beta$ -распаде изомерного состояния  $^{160}\text{Ho}$ . Если уровень заселяется при распаде основного состояния  $^{160}\text{Ho}$ , то величина  $lgft$  будет на 1,0 меньше. Анализ полосы, основанной на уровне 1694 кэв<sup>4+</sup>, проведен в<sup>/1/</sup>.

Значения вероятностей электронного захвата и  $lgft$  приведены на рис. 2. Большинство  $\beta$ -переходов можно отнести к разрешенным или первого запрещения. Из рис. 2 видно, что нет  $\beta$ -переходов с малыми значениями  $lgft$  (около 5). Видно также, что если бы заселение какого-либо из уровней происходило с  $lgft > 8$ , то интенсивности соответствующих  $\gamma$ -переходов были бы настолько малы, что они не проявились бы в спектре.

Авторы выражают благодарность В.А. Халкину и его сотрудникам за химическое выделение препаратов эрбия, К.Я. Громову, Ж.Т. Желеву и Г. Музиолю за интерес к работе, Н.И. Пятову и С. Бьорнхольму за полезные обсуждения, а также авторам работы<sup>/1/</sup> М.П. Авотиной, Б.С. Джелепову, А.В. Золотавину и В.О. Сергееву за предоставленную возможность заново проанализировать их экспериментальные результаты.

#### Л и т е р а т у р а

1. М.П. Авотина, Е.П. Григорьев, Б.С. Джелепов, А.В. Золотавин, В.О. Сергеев. Изв. АН СССР, сер. физ. 30, 530 (1966).
2. Y. Yoshizawa, B. Elbek, B. Herskind, B. M.C.Olesen. Nucl. Phys., 73, 273 (1965).
3. G.T.Ewan, R.L.Graham, I.S.Geiger. Nucl. Phys., 22, 610 (1961).
4. П. Бедросян, Т. Бэдикэ, К.Я. Громов, В.А. Морозов. Программа и тезисы докладов XV ежегодного совещания по ядерной спектроскопии и структуре атомного ядра, Минск, стр. 81. Изд. "Наука", М-Л, 1965.

5. Е.П. Григорьев, Г.С. Кватер, Е.Г. Линдберг, В.Б. Смирнов, В.А. Александров.  
Программа и тезисы докладов XVI ежегодного совещания по ядерной спектроско-  
пии и структуре атомного ядра, Москва, стр. 47. Изд-во "Наука", М-Л, 1966.  
Доклад на совещании.

Рукопись поступила в издательский отдел  
30 июня 1966 г.

Таблица I

Энергии и относительные интенсивности  $\gamma$ -лучей  
и электронов внутренней конверсии  $^{160}\text{Ho} + ^{160m}\text{Ho}$

$E_{\gamma}$ , кэВ	$I_{\gamma}$	$I_{\gamma'}$	Коэффициенты конверсии, $\times 10^3$					Вывод о мультипольности
			опит	EI	E2	MI	M2	
I	2	3	4	5	6	7	8	9
86,8	$L_{\gamma}$	6700	6100	$II00 \pm 200$	-	$L_{\gamma}$	III100	$E2^{\pm}$
93,9	$L_{\gamma}$	8	-	-	-	-	-	-
107,9	105	100	$1000 \pm 200$	210	940	1650	-	$MI + E2^{\pm}$
117	-	20	-	-	-	-	-	-
127	8	$\sim 10$	$800 \pm 300$	135	600	1000	-	$MI, E2$
133	3	80	$40 \pm 20$	70	280	400	300	EI
139	$\leq 3$	$\leq 30$	-	-	-	-	-	-
147	1000	5600	$173 \pm 30$	43	165	300	1600	$E2^{\pm}$
215	1,8	$< 70$	$> 26$	34	130	230	II150	$E1^{\pm}$
235	3	$\leq 40$	$\geq 70$	27	98	195	850	не EI
239	2,5	$\leq 40$	$\geq 60$	26	90	180	800	не EI
256	0,4	$\leq 30$	$\geq 15$	21	75	150	650	$E2^{\pm}$
282	0,4	$\leq 30$	$\geq 15$	I7	60	II15	470	-
297,2	I8	-	-	-	-	-	-	$E2^{\pm}$
298,0	2,5	-	-	-	-	-	-	-
298,6	6,6	-	-	-	-	-	-	-
310	1,5	I40	$II14$	I3	44	88	340	EI
363	2,5	$\sim 70$	$\sim 40$	9,2	28	58	210	$E2 + MI$
390	0,4	-	-	-	-	-	-	(EI)
392	0,9	-	-	-	-	-	-	EI
406	3,9	I90	$20 \pm 5$	7,2	21	43	I46	E2
466	0,12	-	-	-	-	-	-	-
468	0,30	-	-	-	-	-	-	-
469	0,15	-	-	-	-	-	-	-
490	0,7	-	-	-	-	-	-	-
491	0,2	-	-	-	-	-	-	-
494	0,2	$\sim 100$	$\sim 2$	4,6	I2,0	26	82	EI
513	6,9	660	$10,5 \pm 2$	4,2	II,6	24	72	E2
538	21	I900	$II \pm 2$	3,8	I0,3	21	52	E2
640	0,5	-	-	-	-	-	-	-
645	50	-	-	-	-	-	-	-
646	9,5	-	-	-	-	-	-	-
673	0,2	-	-	-	-	-	-	-

Таблица I (продолжение I)

1	2	3	4	5	6	7	8	9
682	I,0	$\sim 140$	$\sim 7$	-	2,3	5,9	10,8	32
707	I,0	$\sim 190$	$5,2 \pm 1$	-	2,1	5,3	10,5	28
728	70	I3700	$5,1 \pm 0,6$	-	2,0	5,0	9,7	26
753	5,7	III10	$5,1 \pm 0,8$	I,85	4,7	9,1	24	E2
765	7,4	I650	$4,5 \pm 0,8$	I,75	4,5	0,6	22	E2
826	0,70	-	360	$2,3 \pm 1$	I,52	3,8	7,2	I9
827	0,13	-	-	-	-	-	-	EI, E2
843	0,3	$< 50$	$> 6$	-	I,45	3,6	6,9	I7
857	0,37	280	$1,3 \pm 0,5$	I,43	3,5	6,5	I7	EI
872	8,5	3000	$2,8 \pm 0,6$	I,40	3,4	6,3	I6	E2
879	27,5	8900	$3,1 \pm 0,3$	I,35	3,3	6,1	15,5	E2
941	0,7	I00	$7 \pm 2$	I,20	2,9	5,2	I3,0	MI
962	21	8000	$2,6 \pm 0,4$	I,16	2,8	4,9	I2,5	E2
966	22	8000	$2,75 \pm 0,4$	I,14	2,75	4,8	I2,5	E2
I003	0,17	950	$2,5 \pm 0,3$	I,05	2,5	4,3	II,0	EI
I004	2,1	-	-	-	-	-	-	E2
I048	I,I	370	$3,0 \pm 0,6$	0,93	2,4	4,0	I0,0	MI
I069	2,8	I300	$2,15 \pm 0,3$	0,95	2,2	3,8	9,4	E2
III15	0,17	I85	$0,92 \pm 0,50$	0,88	2,0	3,7	8,6	EI
II31	I,I	490	$2,2 \pm 0,4$	0,87	2,0	3,5	8,3	E2
II42	0,08	60	$1,3 \pm 0,5$	0,85	I,9	3,I	7,8	E2
II54	0,16	-	II10	$2,2 \pm 1$	0,84	I,9	3,I	7,8
II56	0,08	-	-	-	-	-	-	-
II62	-	I50	-	-	-	-	-	-
II76	-	400	-	-	-	-	-	-
II78	-	-	-	-	-	-	-	-
II82	-	80	-	-	-	-	-	-
I200	0,55	I000	$0,55 \pm 0,2$	0,73	I,75	2,9	7,0	EI
(I216)	-	I00	-	-	-	-	-	-
I236	-	I70	-	-	-	-	-	-
(I250)	-	$\leq 100$	-	-	-	-	-	-
(I256)	-	$\leq 100$	-	-	-	-	-	-
I245	-	I80	-	-	-	-	-	-
I263	I,I	$\sim 110$	$10 \pm 3$	0,71	I,60	2,5	6,1	E0
I272	0,9	I260	$0,71 \pm 0,1$	0,70	I,55	2,5	6,0	EI
I280	0,5	$\sim 180$	$\sim 2,8$	0,70	I,55	2,4	5,9	(MI)
I286	0,55	780	$0,71 \pm 0,1$	0,70	I,54	2,4	5,9	EI
I304	$\sim 0,05$	I40	$\sim 0,4$	0,65	I,47	2,3	5,6	EI
I312	0,12	300	$0,4 \pm 0,2$	0,66	I,45	2,3	5,5	EI

Таблица I (продолжение 2)

I	2	3	4	5	6	7	8	9
I32I	0,I2	I00	I,2±0,5	0,66	I,45	2,3	5,5	EI,E2
I330	~ 0,I	~ 50	~ 2	0,65	I,42	2,2	5,3	E2,MI
I338	0,I2	~ 70	~ I,7	0,64	I,40	2,I	5,2	MI,E2
I344	0,I6	~ 80	~ 2,0	0,64	I,40	2,I	5,2	MI,E2
I349	0,II	~ 70	~ I,5	0,64	I,40	2,I	5,2	E2
I369	0,20}							
I370	0,44}	400	I,9±0,5	0,6I	I,36	2,I	4,9	MI,E2
I37I	0,I3}							-
I374	0,I0}							
I375	0,26}	I90	2,3±0,8	0,6I	I,35	2,07	4,9	MI
I377	0,07}							
I389	0,20	~ 40	~ 5	0,6I	I,32	2,05	4,8	M2
I396	0,I9	I00	I,9±0,6	0,6I	I,32	2,05	4,8	MI,E2
I400}	0,I7	220	0,8±0,2	0,60	I,3I	2,00	4,7	EI
I402}								
I405	0,034	< I00	> 0,3	0,59	I,3I	2,00	4,7	-
I409	0,I0}	~ I90	~ I,8	0,59	I,30	2,00	4,6	-
I410	0,24}							
I415	0,I4}							E2,MI
I418	0,27}	~ I90	~ 2,5	0,58	I,27	I,95	4,5	MI
I420	0,07}							
I425	0,08	-	-	-	-	-	-	-
I431	0,68}	450	I,7±0,4	0,57	I,26	I,90	4,5	MI,E2
I433	0,09}							
I436	0,24}	I40	2,5±I	0,56	I,25	I,90	4,5	MI
I438	0,I0}							
I44I	0,I0	< I00	> I	0,56	I,22	I,88	4,4	-
I443	0,I2	< I00	> I,2	0,56	I,22	I,88	4,4	be EI
I473	0,20	260	0,77±0,2	0,55	I,20	I,80	4,I	be EI
I489	-	I00	-	-	-	-	-	EI
I518	0,I2	-	-	-	-	-	-	-
I606	0,025	-	-	-	-	-	-	-
I609	0,0I	-	-	-	-	-	-	-
I6I3	0,06	-	-	-	-	-	-	-
I62I	0,I5	I65	0,9±0,2	0,47	I,00	I,43	3,3	E2
I655	0,09	205	0,44±0,08	0,45	0,95	I,35	3,I	RI
I670	0,I7	I70	I,0±0,2	0,45	0,95	I,35	3,I	E2

Таблица I (продолжение 3)

I7I8	0,3I	400	0,8±0,2	0,44	0,90	I,25	2,8	E2
I77I	-	200	-	-	-	-	-	-
I787	0,17	I60	I,I±0,3	0,40	0,87	I,I5	2,6	E2,MI
I80I	0,05	~50	~I	0,39	0,83	I,I3	2,5	MI,E2
I806	0,16	I20	I,3±0,3	0,39	0,83	I,I3	2,5	MI
I8I9	0,05	I20	0,4±0,1	0,39	0,82	I,I2	2,5	EI
I86I	0,06	<50	>I,2	0,36	0,77	I,0I	2,2	(MI)
I87I	0,07	<50	>I,4	0,36	0,76	I,00	2,2	MI,M2
I92I	0,05{	230	0,9±0,2	0,35	0,72	0,98	2,I	(EI)
I925	0,15}							E2,MI
I953	0,14	<40	>3,5	0,34	0,7I	0,94	2,I	(EI)
I986	≤0,03	I10	≤0,3	0,33	0,69	0,9I	2,0	EI
I998	0,08{	I100	I,4±0,6	0,33	0,68	0,90	2,0	не EI
2002	0,06{							
2006	-	80	-	-	-	-	-	-
2069	0,07	205	0,34±0,08	0,3I	0,64	0,84	I,80	EI
2086	0,09	I100	0,9±0,4	0,30	0,63	0,82	I,75	MI,E2
2138	-	~100	-	-	-	-	-	-
2164	-	~100	-	-	-	-	-	-
2184	0,07	340	0,2I±0,07	0,29	0,60	0,75	I,62	EI
2382	-	I100	-	-	-	-	-	-
2428	0,020{	I100	0,4±0,2	0,24	0,5	0,6	I,3	-
2433	0,025}							
2542	0,II	450	0,24±0,05	0,225	0,46	0,54	I,I2	EI
2559	0,015	I100	0,15±0,08	0,223	0,45	0,53	I,II	EI
2574	0,020	I100	0,20±0,08	0,220	0,44	0,52	I,IO	EI
2586	0,015	60	0,25±0,08	0,220	0,44	0,5I	I,08	EI
2612	0,10	420	0,24±0,5	0,218	0,43	0,50	I,05	EI
2630	0,10	480	0,2I±0,04	0,215	0,43	0,49	I,03	EI
2646	0,068	230	0,03±0,07	0,2I2	0,42	0,48	I,00	EI(+M2)
(2654)	-	≤100	-	-	-	-	-	-
2673	0,15	560	0,27±0,05	0,2I0	0,4I	0,47	0,96	EI(+M2)
~2680	0,02	~100	~0,2	0,2I0	0,4I	0,47	0,96	(EI)
(2719)	-	~20	-	-	-	-	-	-
2734	0,022	70	0,32±0,10	0,205	0,39	0,45	0,94	EI,E2
2763	0,026	55	0,47±0,15	0,200	0,38	0,44	0,92	(MI)
~2855	-	~10	-	-	-	-	-	-

Интенсивности конверсионных электронов и  $\gamma$ -лучей приведены в одинаковых единицах. Нормировка произведена по коэффициентам конверсии E2-переходов 197,728,880 и 966 кэВ. \* Мультипольность этих переходов известна из распада  $^{160}\text{Tb}$ .

Таблица 2

Экспериментальные и теоретические отношения приведенных вероятностей E2 - переходов в  $^{160}\text{Dy}$  между полосами с  $K^T = 2^+$  и  $K^T = 0^+$

Переходы	Опыт		Теория	
	по $\gamma$ -лучам	по конверсионным электронам /I/	без поправки	с поправкой $Z = 0,03$
$2_2 \rightarrow 0$				
$2_2 \rightarrow 2_0$	$0,55 \pm 0,06$	$0,60 \pm 0,06$	0,70	0,58
$2_2 \rightarrow 4_0$				
$2_2 \rightarrow 2_0$	$0,056 \pm 0,010$	$0,074 \pm 0,010$	0,05	0,072
$5_2 \rightarrow 4_0$				
$5_2 \rightarrow 2_0$	$0,65 \pm 0,10$	$0,68 \pm 0,10$	0,40	0,59
$4_2 \rightarrow 4_0$				
$4_2 \rightarrow 2_0$	$5,4 \pm 1,0$	$5,3 \pm 1,0$	3,0	4,7
$5_2 \rightarrow 6_0$				
$5_2 \rightarrow 4_0$	$1,38 \pm 0,3$	$1,26 \pm 0,3$	0,57	1,26
$6_2 \rightarrow 4_0$				
$6_2 \rightarrow 6_0$	$0,06 \pm 0,02$	$0,19 \pm 0,06$	0,27	0,164

Таблица 3

Экспериментальные и теоретические отношения приведенных вероятностей E2 - переходов в  $^{160}\text{Dy}$  между полосами с  $K^T = 4^+$  и  $K^T = 2^+$

Переходы	Опыт		Теория	
	по $\gamma$ -лучам	по конверсионным электронам /I/	без поправки	с поправкой $a_s = 0$
$4_4 \rightarrow 3_2$				
$4_4 \rightarrow 2_2$	$0,98 \pm 0,15$	$1,00 \pm 0,10$	0,56	1,00
$4_4 \rightarrow 4_2$				
$4_4 \rightarrow 2_2$	$0,62 \pm 0,07$	$0,67 \pm 0,07$	0,196	0,62
$4_4 \rightarrow 5_2$				
$4_4 \rightarrow 2_2$	$0,26 \pm 0,04$	$0,25 \pm 0,04$	0,040	0,22
$4_4 \rightarrow 6_2$				
$4_4 \rightarrow 2_2$	0,4	0,06	0,0036	0,03
$5_4 \rightarrow 4_2$				
$5_4 \rightarrow 3_2$	-	$2,6 \pm 0,5$	1,0	2,5
$5_4 \rightarrow 5_2$				
$5_4 \rightarrow 3_2$	$4,0 \pm 1,0$	$3,4 \pm 0,7$	0,48	2,5
$5_4 \rightarrow 6_2$				
$5_4 \rightarrow 3_2$	$2,4 \pm 1,0$	$2,9 \pm 0,9$	0,428	4,2

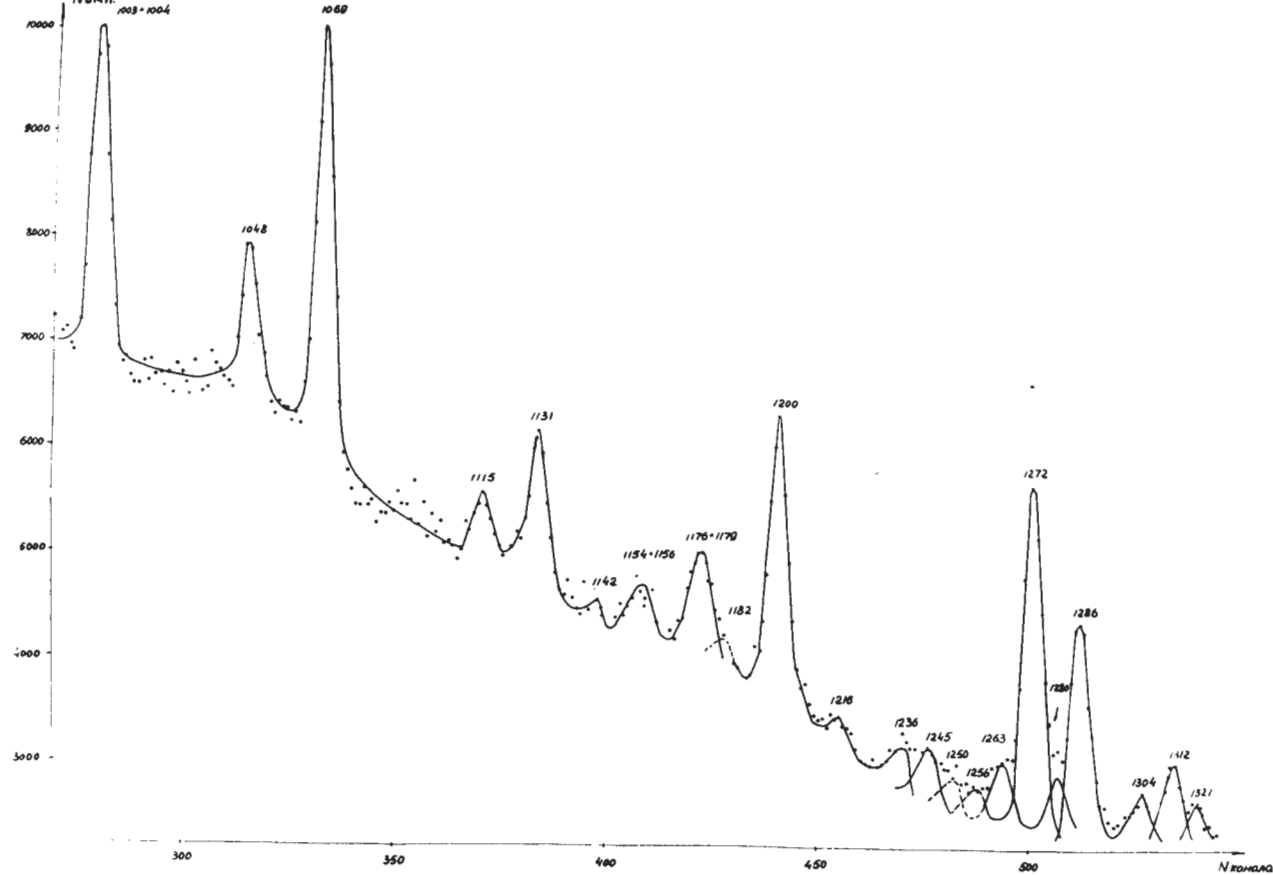


Рис. 1а. Гамма-спектр  $^{160}\text{Ho}$  в средней энергетической области от 1000 до 1320 кэв.

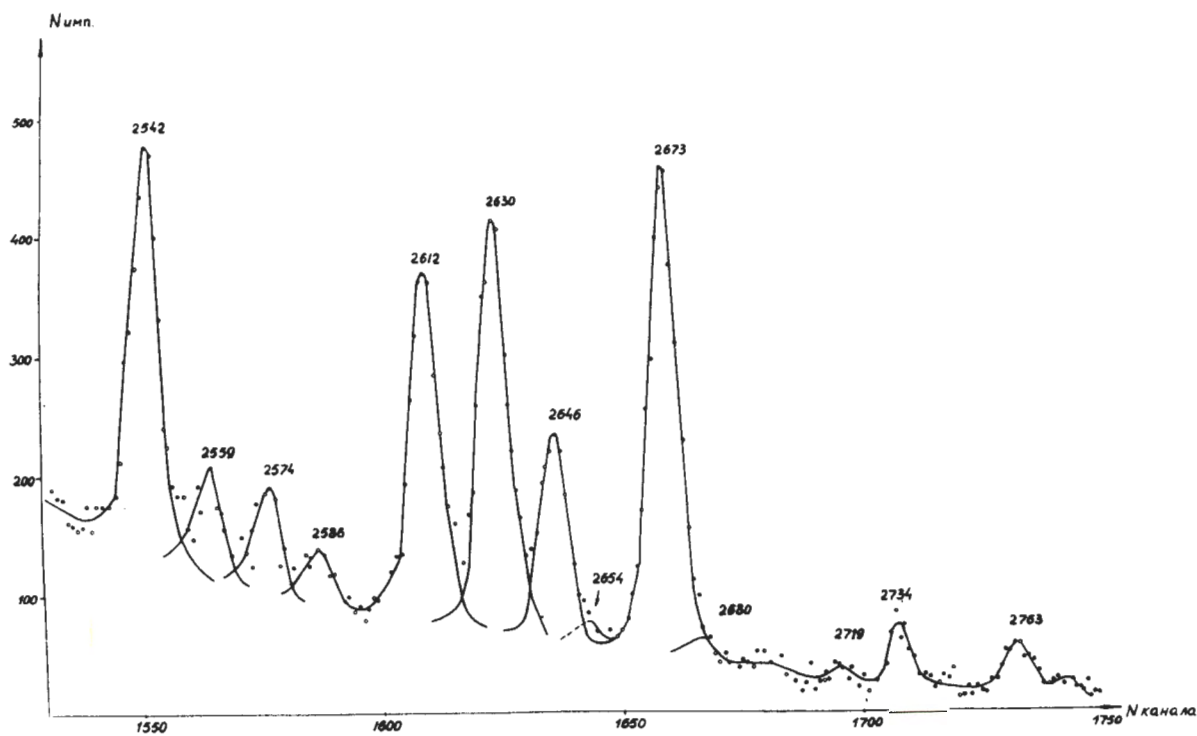


Рис. 1б. Гамма-спектр  $^{160}\text{Ho}$  в жесткой области энергий 2500–2800 кэв.

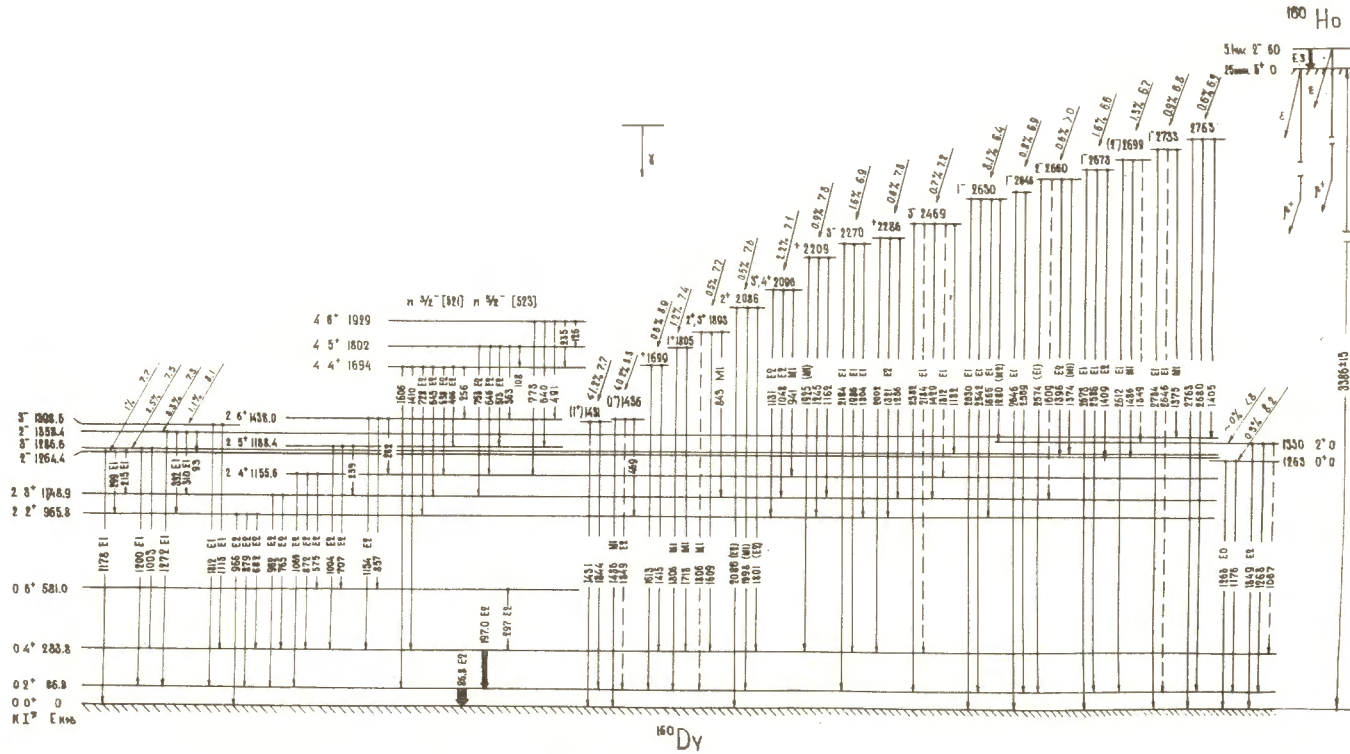


Рис. 2. Схема распада  $^{160}\text{Ho}$ .